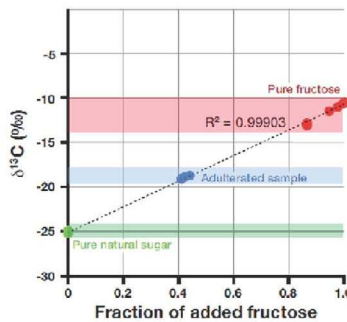
รูปที่ 2 ค่าratio ส่วนของ  $^{13}\text{C} / ^{12}\text{C}$  ในพืชแต่ละชนิดFigure 2 Ratio of  $^{13}\text{C} / ^{12}\text{C}$  in each plant types.

ที่มา/Source: Beer et. al. (2015)

● น้ำมะพร้าวบิสุทธิ์ ● น้ำตาลฟрукโตส ● น้ำมะพร้าวที่เจือปน



\*\* สอบเทียบเพิ่มมาตรฐานโดยสารมาตรฐานปัจจุบันและทุติยภูมิ

รูปที่ 3 ผลการแสดงค่า  $^{13}\text{C} / ^{12}\text{C}$  ( $\delta^{13}\text{C}$ , ‰) ของน้ำมะพร้าวจากแหล่งต่างๆFigure 3 Result of  $^{13}\text{C} / ^{12}\text{C}$  ( $\delta^{13}\text{C}$ , ‰) ratio of coconut water from different sources

ได้แก่น้ำมะพร้าวบิสุทธิ์ น้ำมะพร้าวสำเร็จรูป ที่จำหน่ายห้าวไป และน้ำตาลฟрукโตส ผลที่ได้คือ น้ำตาลฟruktoส์ค่าที่ได้อยู่ในช่วง -10 ถึง -14  $\delta^{13}\text{C}$ , ‰ น้ำมะพร้าวบิสุทธิ์อยู่ที่ประมาณ -25  $\delta^{13}\text{C}$ , ‰ และน้ำมะพร้าวที่จำหน่ายโดยห้าวไปอยู่ในช่วง -18 ถึง -19  $\delta^{13}\text{C}$ , ‰ ผลการวิเคราะห์ทำให้ทราบว่าตัวอย่างน้ำมะพร้าวที่จำหน่ายมีการดิบดันน้ำตาลลงไปที่ประมาณ 40% (รูปที่ 3) ค่า  $R^2$  มีค่า 0.99903 เมื่อนำผลเทียบกับข้อมูลที่ได้จากการวิเคราะห์ด้วย IRMS พบว่าค่าที่ได้ใกล้เคียงกันแตกต่างเพียง  $\pm 0.1\%$  (ตารางที่ 1) โดยมีความแม่นยำในการวัดแต่ละตัวอย่างจากการวัดซ้ำ 3 ครั้ง คือ  $\pm 0.3\%$

ผลศึกษาการทำงานของเทคโนโลยี CRDS ในการวิเคราะห์การเจือปนน้ำตาลของกลุ่มพืช C4 ในน้ำมะพร้าว พบว่ามีช่วงของการวิเคราะห์ทั้งอย่างทั่วไป (4-100%) แต่เทคนิคการวัดด้วย CRDS ยังคงความแม่นยำ ความเที่ยงตรง มีความสัมพันธ์เชิงเส้นที่ดี และมีความคลาดเคลื่อนน้อย เปรียบเทียบตัวอย่างที่ตัดทำโดยผู้ผลิตน้ำมะพร้าวในเชิงพาณิชย์แสดงให้เห็นถึงความแตกต่างที่ชัดเจนในองค์ประกอบของน้ำมะพร้าวบิสุทธิ์และน้ำมะพร้าวที่มีการเจือปน  $\delta^{13}\text{C}$  นอกจากนี้ยังแสดงให้เห็นถึงความถูกต้องของข้อมูลเทคโนโลยี CRDS เมื่อนำไปเปรียบเทียบกับผลการวิเคราะห์ด้วยเครื่อง IRMS

ตารางที่ 1 ตารางแสดงค่า  $\delta^{13}\text{C}$ , ‰ ของน้ำมะพร้าวบิสุทธิ์กับน้ำมะพร้าวที่จำหน่ายห้าวไป

Table 1 The values of  $\delta^{13}\text{C}$ , ‰ of pure coconut water and coconut water with sugar adulterated.

CM-CRDS Coconut Water Adulteration			
Detection			
Pure Samples		Adulterated Samples	
Run No.	$\delta^{13}\text{C}$ , ‰	Run No.	$\delta^{13}\text{C}$ , ‰
1	-26.0	1	-18.8
2	-25.4	2	-18.7
3	-25.5	3	-19.1
4	-25.2	4	-20.3
5	-25.0	5	-18.7
Mean	-25.4	Mean	-19.1
IRMS	-25.3	IRMS	-19.1
Value			

น้ำมะพร้าวบิสุทธิ์มีค่า  $\delta^{13}\text{C}$ , ‰ อยู่ที่ -25.4  $\delta^{13}\text{C}$ , ‰ และน้ำมะพร้าวที่ดิบน้ำตาลมีค่า  $\delta^{13}\text{C}$ , ‰ อยู่ที่ -19.1  $\delta^{13}\text{C}$ , ‰

The average value of coconut juice was  $-25.4 \delta^{13}\text{C}$ , ‰, and the coconut water with sugar was  $-19.1 \delta^{13}\text{C}$ , ‰.

# CAVITY RING - DOWN SPECTROSCOPY (CRDS)



In this note, we present the Combustion Module Cavity Ring-Down Spectroscopy (CM-CRDS) System as a low-cost, easy-to-use, accurate, and precise solution to identify the addition of C4 sugars (Adulteration), based on the carbon isotopic ( $\delta^{13}\text{C}$ ) composition of the coconut water. It is easier to use and a significantly lower capital and total-ownership cost alternative to Isotope Ratio Mass Spectrometry (IRMS), and it produces results that are indistinguishable. The CM-CRDS system is simple to install, easy to operate, and does not require sample preparation.

CM-CRDS is a powerful analytical platform in the food and beverage adulteration market. It can easily distinguish down to ~5% adulteration of coconut water by the addition of C4 sugars, with excellent precision (about  $\pm 0.3$  per mil) and accuracy.

## What is CRDS?

Nearly every small gas-phase molecule (e.g.,  $\text{CO}_2$ ,  $\text{H}_2\text{O}$ ,  $\text{H}_2\text{S}$ ,  $\text{NH}_3$ ) has a unique near-infrared absorption spectrum. At sub-atmospheric pressure, this consists of a series of narrow, well-resolved, sharp lines, each at a characteristic wavelength. CRDS - Cavity Ring-Down Spectroscopy - avoids this sensitivity limitation by using an effective pathlength of many kilometers. It enables gases to be monitored in seconds or less at the parts per billion level, and some gases at the parts per trillion level. The beam from a single-frequency laser diode enters a cavity defined by two or more high reflectivity mirrors. The analyzers use a three-mirror cavity to support a continuous traveling light wave. This provides superior signal to noise compared to a two-mirror cavity that supports a standing wave. When the laser is on,